

ORIGINAL ARTICLE

Performance of Activated Carbon Prepared from Populus alba in Removal of Phenol from Aqueous Solution

Mirhossien Fazelian¹
Bahman Ramavandi²

¹ MSc Student in Environmental Health Engineering, Islamic Azad University, Ahvaz Branch, Ahvaz, Iran

² Assistant Professor, Department of Environmental Health Engineering, Faculty of Health, Bushehr University of Medical Sciences, Bushehr, Iran

(Received September 29, 2014 ; Accepted January 25, 2015)

Abstract

Background and purpose: Phenols are considered as priority pollutants because of their potential harm to human health. So, they should be removed from water resources to avoid further pollutions. The aim of this research was to evaluate phenol adsorption from aqueous solution using activated carbon provided from *Populus alba*.

Materials and methods: In this experimental study we used activated carbon as adsorbent with a mesh 40 that was provided from *P. alba*. After preparation of stock solution, the effect of influencing parameters on adsorption process such as pH (4, 6, 8, 10), contact time (3-60 min), adsorbent dosage (0.25-5g/l), and initial phenol concentration (10-50 mg/L) were evaluated. Also, to describe the experimental data, the Langmuir, Freundlich, and Temkin isotherms, pseudo first- and pseudo second-order kinetic models were assessed. All experiments were conducted twice and the mean of percentage removal was obtained.

Results: BET surface areas of the activated carbon provided from *P. alba* were obtained at 1068 m²/g. According to Langmuir model, the maximum adsorption capacity of 172.41 mg/g was attained. Kinetic evaluation indicated that the adsorption of phenol by the investigated activated carbon followed the pseudo-second order reaction. This study showed that increase in contact time and adsorbent dosage increased the adsorption of phenol. While increase in pH and initial phenol concentration decreased phenol adsorption. Phenol was completely removed at pH4.

Conclusion: The activated carbon provided from *P. alba* was found with a good potential for phenol removal from wastewaters. *P. alba* tree is abundantly found in many areas in Iran, therefore, it could be used to produce adsorbent and may be applied for removal of pollutants in water and wastewater industry.

Keywords: Phenol, adsorption, *P. alba*, isotherm, kinetic

J Mazandaran Univ Med Sci 2015; 25(121): 250-263 (Persian).

بررسی عملکرد کربن فعال تهیه شده از درخت سپیدار در حذف فنل از محلول آبی

میرحسین فاضلیان^۱

بهمن رماوندی^۲

چکیده

سابقه و هدف: فنلها به دلیل پتانسیل آسیب به سلامت انسان به عنوان آلاینده‌های متقلم طبقه‌بندی شده‌اند. بنابراین باید نسبت به حذف فنل و جلوگیری از آلودگی منابع آب اقدام نمود. هدف از این تحقیق بررسی جذب فنل از محلول آبی توسط کربن فعال تهیه شده از درخت سپیدار است.

مواد و روش‌ها: این پژوهش یک مطالعه تجربی بوده که کربن فعال تهیه شده از درخت سپیدار به عنوان جاذب با مشهور استفاده شده است. در این مطالعه، پس از تهیه محلول استوک فنل، اثر پارامترهای موثر در فرایند جذب pH (۴، ۶، ۸ و ۱۰)، زمان تماس (۳ تا ۶۰ دقیقه)، دوز جاذب (۰/۲۵ تا ۵ گرم بر لیتر)، غلظت اولیه فنل (۱۰ تا ۵۰ میلی گرم بر لیتر) مورد بررسی قرار گرفت. هم‌چنین برای توصیف اطلاعات آزمایشگاهی، ایزوترم‌های لانگمویر، فروندلیچ و تمکین و مدل‌های سیتیک درجه اول و دوم کاذب بررسی گردید. همه آزمایش‌ها دوبار تکرار و میانگین درصد حذف ارائه شده است.

یافته‌ها: سطح BET کربن فعال بدست آمده از درخت سپیدار $1068 \text{ m}^2/\text{g}$ به دست آمد. مطابق مدل لانگمویر، حداقل ظرفیت جذب 41 mg/g حاصل شد. ارزیابی سیتیکی نشان داد که جذب فنل توسط کربن فعال تهیه شده از درخت سپیدار از مدل درجه دوم کاذب تبعیت می‌نماید. نتایج این مطالعه نشان داد که افزایش زمان تماس و دوز جاذب منجر به افزایش جذب فنل و افزایش pH و افزایش غلظت اولیه فنل کاهش جذب فنل را در پی دارد. فنل در pH ۴ کاملاً حذف شد.

استنتاج: نتایج حاصل از مطالعه نشان داد که کربن فعال تهیه شده از درخت سپیدار قابلیت مناسبی در جذب فنل از فاضلاب‌ها دارد. با توجه به این که درخت سپیدار بوفور در بسیاری از مناطق کشورمان در دسترس است، از این درخت می‌توان برای تهیه جاذب و در حذف آلاینده‌ها در صنعت آب و فاضلاب استفاده نمود.

واژه‌های کلیدی: فنل، جذب، درخت سپیدار، ایزوترم، سنتیک

مقدمه

از طریق پساب صنایعی نظری کارخانجات رزین‌سازی، پتروشیمی، پالایشگاه‌های نفت، پلاستیک، چرم‌سازی، نقاشی، داروسازی، صنعت فولاد و آفت‌کش‌ها وارد فنل با فرمول شیمیایی $\text{C}_6\text{H}_6\text{O}$ یک هیدروکربن آروماتیک و از مشتقات بنزن بوده، حلalیت بسیار بالایی در آب دارد و در طبیعت بسیار سمی است. این ترکیب

E-mail: ramavandi_b@yahoo.com

محله دانشگاه علوم پژوهشی مازندران

۱. کارشناس ارشد مهندسی محیط زیست، دانشگاه آزاد اسلامی، واحد اهواز، اهواز، ایران

۲. استادیار، گروه مهندسی بهداشت محیط، دانشکده بهداشت، دانشگاه علوم پژوهشی بوشهر، بوشهر، ایران

تاریخ دریافت: ۱۳۹۳/۶/۱۱ تاریخ ارجاع جهت اصلاحات: ۱۳۹۳/۹/۱۲ تاریخ تصویب: ۱۳۹۳/۹/۱۵

از آن‌ها یافت می‌شوند، برای حذف آلاینده‌ها استفاده نموده‌اند. در ایران، به ویژه در مناطق غربی کشور، درخت سپیدار به وفور در حاشیه رودخانه‌ها به صورت خود رو رشد می‌نماید. در این مطالعه برای اولین بار کارایی کرbin فعال تهیه شده از درخت سپیدار به عنوان یک ماده جاذب برای جذب فلز از محلول آبی مورد بررسی قرار گرفت. هم‌چنین ایزوترم و سینتیک جذب مورد تحقیق قرار گرفت. ایزوترم جذب ارتباط بین مقدار آلاینده جذب شده به واحد وزن جاذب مقدار آلاینده در فاز محلول در یک دمای ثابت تحت شرایط تعادلی را نشان می‌دهد. بنابراین، ایزوترم‌ها اطلاعات مفیدی در خصوص توزیع آلاینده بین فازهای سیال و جامد در غلظت‌های تعادلی مختلف ارائه می‌دهند. این اطلاعات مفید (نظیر ظرفیت جاذب، میل و کشش آلاینده به جاذب، انرژی جذب، نوع جذب و ...) برای هر سیستم جذب بایستی به طور جداگانه‌ای به دست آید، تا با آن بتوان قضاوت نمود که آیا جاذب می‌تواند در عملیات تصفیه آب و فاضلاب کاربرد اقتصادی و موثر داشته باشد. هم‌چنین مطالعه سینتیک جذب برای درک دینامیک و پیش‌بینی سرعت جذب و در نتیجه طراحی و مدل سازی فرایند می‌تواند مفید باشد^(۱۷). بنابراین نتایج مطالعات جذب بدون بررسی ایزوترمی و سینتیکی نمی‌تواند در طراحی و عملیاتی کردن جاذب راهگشا باشد.

بر این اساس هدف این تحقیق، بررسی تاثیر پارامترهایی مانند pH محلول، دوز جاذب، غلظت اولیه و زمان تماس بر عملکرد کرbin فعال تهیه شده از درخت سپیدار در حذف فلز از محلول‌های آبی است. هم‌چنین ایزوترم‌ها و سینتیک‌های جذب بعد از تعیین شرایط مناسب بررسی شد.

مواد و روش‌ها

مواد

کلیه آزمایشات در سال ۱۳۹۳ و در دانشکده بهداشت دانشگاه علوم پزشکی بوشهر انجام شد. در این مطالعه

محیط می‌شوند^(۱). فلز جزء آلاینده لیست شده توسط CERCLA است^(۲). فاضلاب‌های حاوی فلز دارای مشکلات زیست محیطی فراوانی می‌باشند. فلز اثرات مضری روی انسان و سایر موجودات زنده دارد^(۳). اثرات بهداشتی ناشی از مواجهه با فلز بستگی به میزان جذب و مدت تماس با آن دارد و از تحریک، سوزش و سوختگی‌های پوستی تا مسمومیت سیستماتیک هموار با کاهش فشار خون، افزایش ضربان قلب و کما متغیر است^(۴). آب آلوده به فلز باعث فرسودگی بافت‌های بدن، فلچ سیستم عصبی، آسیب به کبد و پانکراس در انسان می‌شود^(۱). بنابراین با توجه به سمیت بالا و تجزیه پذیری ضعیف فلز، مقررارت زیست محیطی ایجاد می‌نماید که مقدار فلز فاضلاب قبل از تخلیه به محیط و منبع آب پذیرنده به کمتر از ۱ میلی گرم در میلی لیتر کاهش یابد^(۵). فاضلاب‌های حاوی فلز قبل از تخلیه به محیط بایستی با یکی از روش‌های شیمیایی یا فیزیکی برای ممانعت از اثرات سوء ناشی از آب‌های آلوده تصفیه گرددند. گرچه فرایندهای شیمیایی، به ویژه اکسیداسیون پیشرفته، می‌تواند فلز را به ترکیبات ساده تجزیه نماید ولی این فرایندها پرهزینه و بهره‌برداری آن‌ها مشکل است. تکنیک‌های فیزیکی و در میان انواع آن جذب، گزینه مناسبی برای حذف ترکیبات آلی از فاضلاب‌های صنعتی است^(۶،۷). جذب یک فرایند کارآمد، ارزان و با بهره برداری و طراحی ساده است و تحت تاثیر سمیت قرار نمی‌گیرد^(۸). بنابراین جذب یک فرایند موثر و اقتصادی برای جدا کردن ترکیبات آلی به یک فاز جامد است^(۹). جاذب اشباع را می‌توان به راحتی از جریان تصفیه خارج و آنرا احیاء یا به روش مناسب دفع نمود. کرbin فعال به عنوان بهترین جاذب با چالش‌هایی مانند هزینه‌ی زیاد و تجدیدناپذیر بودن ماده اولیه ساخت آن مواجه است. به همین دلیل محققین برای رفع این موانع از زائدات کشاورزی و گیاهان خودرو و با رشد سریع مانند آزولا و عدسک آبی^(۱۰-۱۲)، گیاه کانولا^(۱۳)، زائدات چوب^(۱۴)، سبزیجات زائد^(۱۵)، هسته زیتون^(۱۶)، هسته خرما^(۶) که سالانه مقادیر فراوانی

۱۰ °C/min در کوره قرار داده شد. به محض اینکه دما به ۸۵°C رسید، برای فعال سازی جاذب از گاز دی اکسید کربن به مدت ۱ ساعت استفاده شد. بعد از خنک شدن کربن فعال در دمای اتاق، نمونه‌ها با اسید هیدروکلریک ۱/۱ مولار و سپس با آب مقطر (تا رسیدن pH آب حاصل از شست و شو به حدود ۷) شستشو داده شد.^(۲۰) بعد از انجام این مراحل، نمونه‌ها بالاک استاندارد ASTM با اندازه مشن ۳۵ تا ۴۰ (و با اندازه متوسط ۴۲۵ میلی‌متر) دانه‌بندی گردید. جاذب تهیه شده در یک بطری شیشه‌ای نگهداری و برای انجام آزمایش‌ها در حد نیاز استفاده گردید.

تعیین مشخصات کربن فعال تهیه شده از درخت سپیدار مشخصات کربن فعال تهیه شده از درخت سپیدار شامل دانه‌بندی، pH_{app} ^(۲۱)، دانسیته ظاهري، میزان خاکستر، عدد یدي، تصویر میکروسکوپ الکتروني، گروه عاملی pH_{app} ^(۲۲)، مورد اندازه‌گيری قرار گرفته است. جهت تعیین pH_{app} ^(۲۳) ۱۸۰ ميلی لیتر از محلول نمک طعام ۰/۰۱ مولار را در داخل ۶ ارلن ۵۰ ميلی لیتری (در هر ظرف ۳۰ ميلی لیتر) ریخته و pH محلول‌ها را در محدوده ۲ تا ۱۲ تنظیم گردید. سپس ۲ g/L نمونه جاذب تهیه شده به هر کدام از ارلن‌ها اضافه شد. ارلن‌ها به مدت ۲۴ ساعت بر روی شیکر با سرعت ۱۲۰ دور در دقیقه قرار داده شدند.^(۲۱) سپس نمونه‌ها فیلتر و pH نهایي اندازه‌گيری شد.^(۲۲) جهت تعیین pH_{app} ^(۲۴) کربن فعال تهیه شده از درخت سپیدار نسبت مقادير اوليه به مقادير نهايی pH محلول رسم گردید. برای تعیین خاکستر مقدار کافی نمونه از مرحله رطوبت را در دمای ۲۵ °C \pm ۶۵۰ به مدت یک ساعت در کوره حرارت داده و سپس در دسیکاتور قرار داده تا خنک شود و خاکستر آن تعیین می‌شود. جهت تعیین سطح داخلی جاذب از عدد یدي استفاده شده است. سطح ويژه و حجم سوراخ‌ها با آنانالیزور جذب گاز نیتروژن (Micromeretics Gemini-2372) تعیین گردید. میانگین قطر حفره‌ها، توسط روش BET و حجم

تجربی تکه‌های چوب درخت سپیدار از منطقه نورآباد واقع در استان لرستان جهت تولید کربن فعال تهیه گردید. فل و مواد شیمیابی مصرفي از شرکت مرک تهیه و کلیه آزمایش‌ها براساس روش‌های ارائه شده در کتاب استاندارد متده (۱۸) انجام شد. از آب مقطر دوبار تقطیر برای ساخت نمونه‌ها و محلول‌ها استفاده گردید.

تهیه و آماده سازی جاذب

در این تحقیق از فرآیند پیرولیز جهت تولید کربن فعال از درخت سپیدار استفاده شد. ابتدا قطعات بزرگ شاخه‌های درخت سپیدار به تکه‌های ریزتر و در حد ۲ تا ۴ سانتی‌متر تبدیل شدند. سپس چندین بار با آب شیر و با آب مقطر شستشو و در نهایت با استفاده از آون در دمای ۱۱۰ °C به مدت ۲۴ ساعت خشک شد. تکه‌های چوب خشک شده با استفاده از آسیاب برقی و الکهای استاندارد خرد و دانه‌بندی شد. جهت کربنیزه کردن نمونه‌ها از یک رآکتور آهنه زنگ نزن (۲/۵cm قطر \times ۱۰cm طول) استفاده گردید. یک طرف راکتور کاملاً بسته و طرف دیگر آن دارای درپوشی بود که در وسط آن سوراخی به اندازه ۲ میلی‌متر (جهت خروج گازهای حاصل از پیرولیز) ایجاد شده بود. رآکتور حاوی تکه‌های چوب خشک شده، در کوره (شرکت آتبین، ایران) قرار گرفت و سپس دمای آن با میزان ثابت ۷۵۰ °C/min افزایش داده شد تا اینکه دما به ۱۰ °C رسید. کل زمان کربنیزه کردن ۱۰۰ دقیقه بود. در پایان زمان فعل سازی، نمونه‌های کربنیزه شده از کوره برداشته و در دمای اتاق خنک شدند. برای اصلاح و فعل سازی شیمیابی، محصول کربن فعال به دست آمده در محلول سود به مدت ۲۴ ساعت بر روی شیکر اریتالی (GFL 3017) با سرعت ۱۲۰ rpm قرار داده شد. پس از سپری شدن این زمان، کربن فعال از محلول سود جدا و به مدت ۱۲ ساعت در دمای ۱۰۵ °C خشک شد. مجدداً کربن فعال را مطابق روش ارائه شده توسط حامد و همکارانش^(۱۹) در دمای ۸۵۰ °C با میزان حرارت

طراحی آزمایشات

آزمایش‌های جذب در ارلن‌های ۲۵۰ میلی لیتری و با ۱۰۰ میلی لیتر از محلول فل انجام شده است. در این آزمایش‌ها ۱۰۰ میلی لیتر از محلول فل با غلظت معین در هر ارلن ریخته شد و بعد از تنظیم pH، دوز جاذب مورد نظر اضافه و روی شیکر انکوباتور (مدل پارس آزمایشگاه) در زمان مورد نظر و ۱۰۰ دور در دقیقه تنظیم شد و سپس محلول از صافی واتمن عبور داده شد بعد از اضافه کردن معرف‌های لازم و سپری شدن ۱۵ دقیقه با دستگاه اسپکتروفوتومتر در طول موج ۵۰۰ نانومتر جذب قرائت شد(۱۸). آزمایش‌ها در چندین مرحله انجام شد. در مرحله اول پس از مشخص کردن مشخصات جاذب، نقش متغیر pH مورد بررسی قرار گرفت. به منظور بررسی تأثیر زمان تماس (۳-۶۰ دقیقه) و pH (۴، ۶، ۸ و ۱۰) در فرایند جذب، نمونه‌های فل با غلظت ثابت باقیمانده اندازه‌گیری شد. در این مرحله دوز جاذب و حجم نمونه به ترتیب ۳ گرم در لیتر و ۱۰۰ میلی لیتر بود. در مرحله بعد ۱۰۰ میلی لیتر محلول فل با غلظت‌های مختلف (۱۰، ۲۰، ۴۰ و ۵۰ mg/L) با pH برابر ۴ و مقدار مختلف (۳-۶۰ دقیقه)، نمونه‌برداری و غلظت فل باقیمانده اندازه‌گیری شد. در این مرحله دوز جاذب و حجم نمونه به ترتیب ۳ گرم در لیتر و ۱۰۰ میلی لیتر بود. سانتی گراد) با سرعت ۱۰۰ دور در دقیقه با دستگاه شیکر در زمان‌های متفاوت بهم زده شد. سپس غلظت فل باقیمانده اندازه‌گیری شد. به منظور بررسی تأثیر دوز جاذب نمونه‌های ۱۰۰ میلی لیتری با غلظت فل ۴۰ mg/L تهیه و مقادیر مختلفی از دوز جاذب ۰/۲۵ تا ۰/۵ به آنها اضافه شد. نمونه‌ها به مدت ۳۵ دقیقه به هم زده شدند و طبق مراحل قبل غلظت باقیمانده فل در آن‌ها اندازه‌گیری گردید. در این مطالعه جهت تعیین ظرفیت جذب از معادله $(C_0 - C_t) \frac{V}{M} = I_{(t)} - I_{(0)}$ استفاده شده است. در این رابطه $I_{(t)}$: ظرفیت جذب، mg/g، $I_{(0)}$: غلظت اولیه ماده جذب شونده در محلول، mg/L، C_t : غلظت تعادلی ماده جذب شونده بعد از برقواری تعادل، mg/L

کل حفره‌ها بر اساس معادله ارائه شده توسط Altenor و همکاران محاسبه شد(۲۲). ساختار سطحی جاذب توسط اسکن میکروسکوپی الکترون (Philips XL-30) با FTIR بزرگنمایی یکسان آنالیز گردید. از تکنیک FTIRnicoletir 100 (برای شناسایی گروه‌های عاملی موجود بر سطح جاذب استفاده گردید. عدد یدی کربن فعال تهیه شده مطابق روش ASTM D4607-14 تعیین گردید. برای این منظور ابتدا ۲ گرم جاذب را به ارلن مایر ۲۵۰ میلی لیتری منتقل و سپس ۱۰ میلی لیتر از اسید کلریدریک ۵ درصد به آن اضافه و تکان داده شد تا جاذب خوب خیس شود. سپس نمونه روی هیتر برقی قرار داده شد تا محلول حاوی جاذب جوش بیاید سپس در درجه حرارت اتاق خنک گردید. در مرحله بعد، ۱۰۰ میلی لیتر محلول ۱/۰ نرمال اضافه و مخلوط گردید. سپس نمونه از کاغذ صافی عبور داده شد و مقدار ۵۰ میلی لیتر از نمونه صاف شده را در ارلن مایر ۲۵۰ میلی لیتری ریخته و با محلول ۱/۰ تیوسولفات تیتر گردید تا رنگ زرد ناپدید شود. بعد از آن ۱ میلی لیتر محلول نشاسته اضافه و تیتراسیون ادامه داده شد، تا رنگ آبی ناپدید شد(۲۳). در نهایت عدد یدی از رابطه $I_{(t)} = 12.69 \times (B-S) \times N/W$ به دست آمد. در این فرمول B حجم تیوسولفات مصرفی برای نمونه، S حجم تیوسولفات مصرفی برای شاهد، N نرمالیته تیوسولفات و W وزن جاذب است.

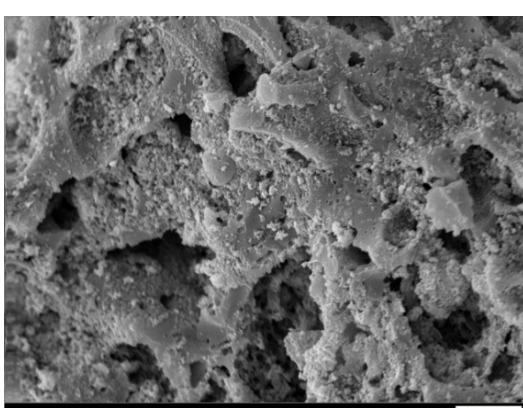
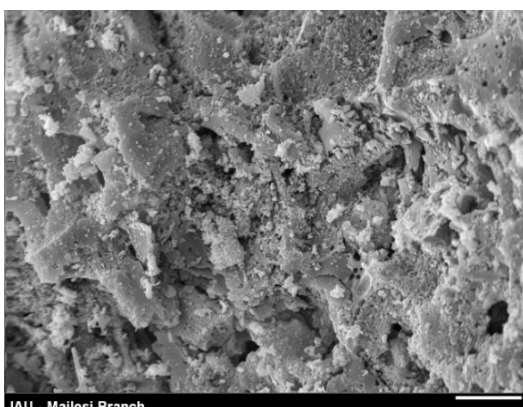
آنالیز نمونه‌ها

به منظور انجام آزمایش‌ها، ابتدا محلول مادر با غلظت ۱۰۰۰ mg/L فل با اضافه کردن ۱ گرم فل در یک لیتر آب م قطره تهیه و از این محلول برای ساخت محلول‌های مورد نیاز برای آزمایش استفاده شده است. سنجش غلظت فل در نمونه‌های استاندارد و مجھول با استفاده از دستگاه اسپکتروفوتومتر unico uv/vis (America ۲۱۰۰) و رسم منحنی کالیبراسیون در طول موج ۵۰۰ نانومتر انجام شده است(۱۸).

جدول شماره ۲: مشخصات فیزیکی و شیمیایی کربن فعال تهیه شده

مقدار	واحد	ویژگی
۱۰۶۸	m^2/g	سطح BET
۰/۰۲۲	cm^3/g	حجم حفره ها
۰/۸۷	nm	قطر حفره ها
۷/۲	-	pH _{zpc}
۰/۸۲	g/ml	دانسیته حجمی
۱/۸	%	میزان خاکستر
۴۰۲/۱۲	mg/g	عدد یدی
۴۰	Mesh	اندازه ذرات جاذب

مورفولوژی سطح جاذب قبل و بعد از جذب فل در تصاویر SEM در تصویر شماره ۱ آمده است. در این شکل، تصویر قبل و بعد از جذب فل بر سطح آن نشان داده شده است. همچنان که از شکل مشهود است بعد از جذب فل توسط کربن فعال تهیه شده از درخت سپیدار، تغییرات محسوسی در سطح آن قابل مشاهده است.



تصویر شماره ۱: تصویر میکروسکوپ الکترونی کربن فعال تهیه شده از درخت سپیدار (الف) قبل از جذب فل (ب) بعد از جذب فل

V: حجم مایع در راکتور، L و M: جرم جاذب، g، است. بعد از تعیین شرایط مناسب از ایزووترم لانگمویر، فروندلیچ و تمکین جهت تحلیل جذب فل توسط جاذب تهیه شده از درخت سپیدار استفاده گردید. به همین منظور در مراحل جداگانه ۱۰۰ میلی لیتر از نمونه با غلظت های ۱۰، ۲۰، ۴۰ و ۵۰ mg/L در زمان تماس ۱۲ ساعت و pH برابر ۴ و دوز جاذب ۳ g/L در نظر گرفته شد و در انتها غلظت باقیمانده فل مورد اندازه گیری قرار گرفت. به منظور تعیین ایزووترم جذب از شکل خطی مدل های ایزووترم لانگمویر، فروندلیچ و تمکین استفاده گردید (جدول شماره ۱). آزمون های لازم برای تعیین سینتیک جذب با انتخاب شرایط پایه، شامل مقدار جاذب ۳ g/L، غلظت اولیه فل ۱۰ تا ۱۰۰ mg/L و pH محلول ۴ انجام شد. در این تحقیق مدل های سینتیکی درجه اول و دوم کاذب (جدول شماره ۱) برای جذب فل به کربن فعال تهیه شده مورد بررسی قرار گرفت.

جدول شماره ۱: مدل ایزووترمی و سینتیکی مورد بررسی در این مطالعه (۶، ۱۷، ۲۴)

مدل های ایزووترمی	لانگمویر
$\frac{C_e}{q_e} = \frac{1}{K_f} + \frac{1}{a} C_e$	
$\log q_e = \log K_f + \frac{1}{n} (\log C_e)$	فروندلیچ
$q_e = B \ln A + B \ln C_e$	تمکین
$\log(q_e - q_t) = \log q_e - \left(\frac{K_f}{2.203} \right) t$	مدل های سینتیکی
$t/q_e = \left(\frac{1}{q_e - q_t} \right) + \left(\frac{1}{q_e} \right) t$	درجه اول کاذب درجه دوم کاذب

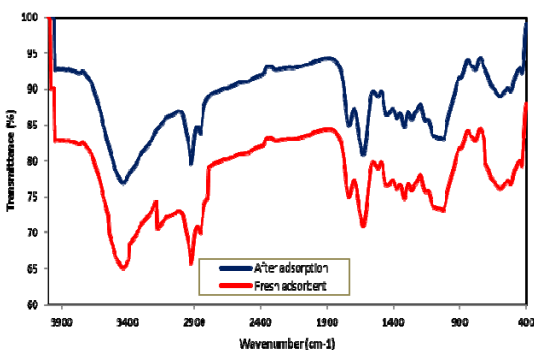
که در این معادلات C_e غلظت نهایی فل (mg/L)، a و b نابهای ایزووترم لانگمویر، K_f ثابت ایزووترم فروندلیچ، A و B به ترتیب ثابت باید تعادلی (L/g) و ثابت تمکین (L/mol)، q_e ظرفیت جذب در حالت غلظت (g) و درستینک درجه اول و دوم کاذب پارامترهای K_f و b ضرایب ثابت (1/min) می باشند.

یافته ها

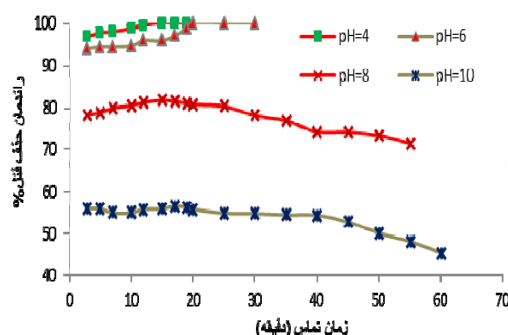
مشخصات جاذب

مشخصات کربن فعال تهیه شده از درخت سپیدار به شرح جدول شماره ۲ می باشد. همان طوری که مشاهده می شود، بالا بودن حجم حفره ها و سطح ویژه جاذب می تواند قابلیت و شانس این جاذب را در حذف آلاینده ها افزایش دهد.

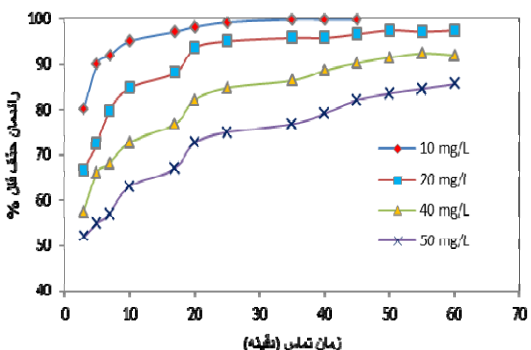
شماره ۵). نتایج نشان داد که با افزایش جرم جاذب از $0/25$ تا 3 g/L راندمان حذف فل افزایش می‌یابد. هر چند با افزایش بیشتر مقدار جاذب (بیش از 3 g/L)، راندمان حذف فل ثابت ماند.



تصویر شماره ۲: طول موج FTIR کربن فعال تهیه شده از درخت سپیدار از 400 تا 4000 cm^{-1}



تصویر شماره ۳: تأثیر pH و زمان تماس بر راندمان حذف فل توسط کربن فعال تهیه شده از درخت سپیدار (غلظت فل: 50 mg/L ، غلظت جاذب: 3 g/L)



تصویر شماره ۴: تأثیر غلظت اولیه فل بر راندمان حذف فل با کربن فعال تهیه شده از درخت سپیدار (pH محلول: ۴، غلظت جاذب: 3 g/L)

جهت شناسایی گروههای عاملی موجود بر سطح جاذب در قبل و بعد از حذف فل، از آنالیز FTIR استفاده شد که نمودار آن در تصویر شماره ۲ ارائه شده است.

تأثیر pH اولیه محلول

از آن جاکه pH محلول نقش کلیدی در فرایند جذب دارد، آزمایشات جذب فل توسط کربن فعال تهیه شده از درخت سپیدار در pH های مختلف انجام گرفت که نتایج آن در تصویر شماره ۳ آمده است. این تصویر به طور واضحی نشان می‌دهد که جذب فل از pH محلول تاثیر pH می‌پذیرد. نتایج نشان داده است که جذب فل تابع pH محلول بوده و با افزایش مقدار pH راندمان جذب فل توسط کربن فعال تهیه شده از درخت سپیدار کاهش می‌یابد. در میزان pH برابر ۴ راندمان حذف با افزایش زمان تماس ۳ تا ۱۵ دقیقه از $96/8$ درصد به 100 درصد افزایش می‌یابد. بر این اساس در ادامه جهت بررسی تاثیر سایر پارامترهای موثر بر فرایند از pH برابر ۴ استفاده گردید.

تأثیر غلظت اولیه آلاینده

صنایع مختلف ممکن است فاضلاب های با غلظت آلاینده متفاوت تولید نمایند، بنابراین این سوال در ذهن متبارد می‌گردد که عملکرد کربن فعال تهیه شده برای حذف فل در غلظت های مختلف چگونه است. نتایج بررسی اثر غلظت اولیه فل بر راندمان حذف فل نشان داد که با افزایش غلظت اولیه فل راندمان حذف کاهش می‌یابد و با گذشت زمان در غلظت های متفاوت راندمان حذف افزایش می‌یابد (تصویر شماره ۴).

تأثیر مقدار اولیه جاذب

با توجه به این که جذب یک فرایند سطحی است، مقدار در دسترس سطح برای جذب و توده جاذب تاثیر بهسزایی بر راندمان جذب دارد. بنابراین، تاثیر غلظت جاذب بر حذف فل مورد بررسی قرار گرفت (تصویر

جدول شماره ۳: ثابت‌های ایزوترم لانگمویر، فروندلیچ و تمکین در جذب فل به کربن فعال تهیه شده از درخت سپیدار

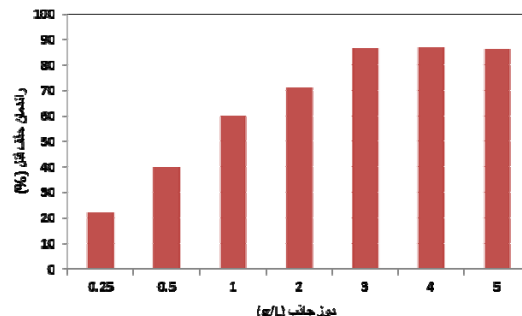
R^1	k_1	q_{\max}
۰/۹۹۵	۰/۱۰۳	۱۷۲/۴۱
فروندلیچ		
R^2	n	k_p
۰/۸۶۶	۲/۴۵	۳۲/۳۷
تمکین		
R^3	A	B
۰/۹۸۲	۲/۰۱	۴۷/۶

ستیک جذب فل به کربن فعال تهیه شده از درخت سپیدار نتایج مطالعه ستیک جذب فل بر روی جاذب مورد مطالعه، نشان داد که جذب فل، از ستیک درجه دو کاذب تبعیت می‌کند. نتایج برآش داده‌ها با مدل ستیک درجه اول و دوم کاذب در جدول شماره ۴ ارائه شده است.

بحث

مشخصات جاذب

نتایج حاصل از بررسی مشخصات کربن فعال تهیه شده از درخت سپیدار نشان داده است که این ماده جاذب دارای سطح معادل $1068 \text{ m}^2/\text{g}$ است که در مقایسه با سایر کربن‌های فعال (۲۵, ۲۰, ۶) بالاتر می‌باشد. علاوه بر زیاد بودن سطح جاذب، حضور گروه‌های



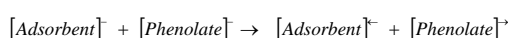
تصویر شماره ۵: تأثیر دوز جاذب بر راندمان حذف فل (غلظت فل: ۴ mg/L pH: ۴)

ایزوترم جذب فل به کربن فعال تهیه شده از درخت سپیدار ارائه موفق دینامیک جداسازی آلاند از محلول بستگی به توصیف مناسب جداسازی تعادلی بین دو فاز دارد (۲۵). ثابت‌های ایزوترم جذب می‌تواند مشخصات سطحی جاذب، کشش جاذب و آلاند به یکدیگر و هم‌چنین ظرفیت جذب آلاند را مشخص کند. بنابراین، ایزوترم‌های جذب با ارائه این اطلاعات مهم، برای طراحی و بهینه نمودن فرایند جذب می‌تواند مفید باشد. در این مطالعه از ایزوترم لانگمویر، فروندلیچ و تمکین جهت تحلیل جذب فل توسط کربن فعال تهیه شده از درخت سپیدار استفاده گردید. نتایج این مطالعه در جدول شماره ۳ آورده شده است. با توجه به ضریب همبستگی مدل‌های جذب استفاده شده جذب فل از مدل لانگمویر تبعیت می‌کند.

جدول شماره ۴: نتایج مدل‌یگ سنتیک درجه اول و دوم کاذب جذب فل بر روی کربن فعال تهیه شده از درخت سپیدار

$\ln(q_e - q_t) = \ln q_e - k_1 t$			معادله درجه اول کاذب		
۵۰					غلظت فل، l/mg
$\ln(q_e - q_t) = ۰/۹۹۱ - ۰/۰۱۸۷t$	$\ln(q_e - q_t) = ۰/۵۴۲ - ۰/۰۱۷۹t$	$\ln(q_e - q_t) = ۰/۴۶۶ - ۰/۰۱۴۸t$	$\ln(q_e - q_t) = ۰/۰۳۲۵ - ۰/۰۱۲۴t$		مدل
۰/۷۹۸	۰/۸۳۹	۰/۸۶۴	۰/۸۹۷		R^2
۰/۰۱۸۷	۰/۰۱۷۶	۰/۰۱۴۸	۰/۰۱۲۳		$k_1, (\text{min}^{-1})$
۸/۱۶	۴/۶۷	۲/۷	۱/۰۳		$(q_{\text{cal}}) \text{ mg/g}$
۱۷/۱	۱۱/۰۸	۷/۷۷	۳/۹۸		$(q_{\text{exp}}) \text{ mg/g}$
۵۰	$t/q_e = ۱/k_2 q_e^{1-k_1 t}$	$t/q_e = ۰/۲۶۲۱ + ۰/۰۱۹۴t$	$t/q_e = ۰/۲۰۵۴ + ۰/۰۲۹۵t$		معادله درجه دوم کاذب
$t/q_e = ۰/۲۷۲۴ + ۰/۰۶۷t$	$t/q_e = ۰/۳۱۳۴ + ۰/۰۱۳۹t$				غلظت فل، l/mg
۰/۹۹۶	۰/۹۹۸	۰/۹۹۹	۱		مدل
۰/۰۱۶۵	۰/۰۳۴۳	۰/۰۸۵۲	۰/۴۲۶۳		R^2
۱۴/۹۳	۹/۶۲	۶/۶۹	۳/۳۸		$k_2, \text{mg}/(\text{g}\cdot\text{min})$
۱۷/۱	۱۱/۰۸	۷/۷۷	۳/۹۸		$(q_{\text{cal}}) \text{ mg/g}$
					$(q_{\text{exp}}) \text{ mg/g}$

جاذب دارای بار مثبت می‌باشد^(۶). در این مطالعه pH_{app} کربن فعال تهیه شده از درخت سپیدار برابر با $7/3$ تعیین گردید. بدین معنی که در pH های بالاتر از $7/3$ بار الکتریکی سطحی جاذب به صورت منفی است. بر این اساس، با افزایش pH تعداد بارهای منفی افزایش یافته و با توجه به ماهیت آئیونی فل (و تشکیل آئیون فنالات) در این شرایط (pH های قلیاً) جاذب‌های الکترواستاتیکی میان جاذب و آلاینده^(۲۸) و راندمان جذب بر اساس فرمول زیر کاهش می‌یابد:



این نتایج با مطالعات انجام شده توسط سایر محققین مطابقت دارد. Banat و همکارانش در سال ۲۰۰۰ گزارش کرده‌اند که درصد جذب فل بر روی بنتونیت با افزایش pH کاهش می‌یابد^(۲۹). نتایج مشابهی توسط دیگر محققین نیز گزارش شده است^(۳۰، ۱۹، ۵). این محققین نیز تأثیر pH در افزایش جذب آلاینده بر سطح جاذب را به ارتباط pH و بار الکتریکی جاذب نسبت داده‌اند. در pH پایین‌تر از pH_{app} سطح جاذب توسط گروه‌های عاملی کربوکسیلیک حاوی پروتون احاطه و باعث افزایش بار مثبت بر سطح جاذب می‌شود. با توجه به ماهیت آئیونی فل (pK_a=10) در این شرایط جاذب‌های الکترواستاتیکی میان جاذب و آلاینده افزایش یافته و راندمان حذف افزایش می‌یابد.

تأثیر غلظت اولیه‌ی فل بر راندمان حذف فل

نتایج مطالعه حاضر نشان داد غلظت اولیه‌ی فل تأثیر قابل ملاحظه‌ای بر راندمان حذف داشته است. میزان فل حذف شده در زمان تماس ۲۵ دقیقه برای غلظت‌های فل ۱۰، ۲۰، ۴۰ و ۵۰ میلی‌گرم در لیتر به ترتیب ۹۹، ۸۶، ۹۵ و ۷۶ درصد بوده است. جذب سریع در مرحله‌ی اولیه ناشی از نیروی محركه‌ی بزرگی است که به علت در دسترس بودن سطوح زیاد جاذب و کم بودن مولکول فل بوجود می‌آید. با افزایش زمان تماس تا ۶۰ دقیقه، راندمان حذف فل بسیار جزئی تغییر کرده است. به

عاملی قوی بر سطح جاذب توانایی آن را در حذف آلاینده‌هایی نظری فل افزایش داده است. بر اساس آنالیز FTIR، گروه‌های عاملی فعال بر سطح کربن فعال تهیه شده از درخت سپیدار شامل C=O، C-O، OH، CH₃ و C-O-C₂H₅ می‌باشد. به طوری که در باندهای نزدیک در طول موج cm^{-1} ۳۱۰۰ تا ۳۶۰۰ گروه‌های OH وجود دارد^(۶). در طول موج‌های cm^{-1} ۱۳۰۰ تا ۱۱۰۰ گروه‌های C-O وجود دارد^(۶). در cm^{-1} ۲۸۹۰ تا ۲۶۰۰ و cm^{-1} ۱۷۰۰ تا ۲۴۵۰ گروه‌های C-O، C=O و OH دیده شدند^(۲۶). تغییرات عمدۀ پیک گروه‌های عاملی بعد از جذب نشان‌دهنده موثر بودن مکانیزم شیمیایی و پیوند هیدروژنی بین هیدروژن گروه‌های عاملی و هیدروژن گروه هیدروکسیل فل در جذب فل است. در تصاویر SEM قبل از جذب، جاذب دارای حفره‌های مشخص و سطحی بسیار صاف است، در حالی که تصویر SEM بعد از جذب با همان بزرگنمایی نشان دهنده حفره‌های کوچک‌تر و سطحی ناصاف‌تر است. این تغییرات سطح جاذب تلویحاً بیانگر واکنش جاذب با فل است. مقدار دانسیته حجمی، خاکستر و عدد یابی این تحقیق با مطالعات احمد و تیدان همخوانی دارد^(۲۷). بالا بودن عدد یابی جاذب مورد مطالعه بیانگر قدرت جذب بالای آن در حذف آلاینده‌های آلی با وزن مولکولی کم نظری فل است.

تأثیر pH اولیه محلول بر راندمان حذف فل pH یکی از فاکتورهای مهمی است که بر ساختار آلاینده و بار سطحی جاذب در فرایند جذب تأثیرگذار است^(۶). همان‌گونه که نتایج نشان می‌دهد با افزایش pH کارایی حذف کاهش یافته است. علت این پدیده به ساختار آئیونی فل و pH_{app} کربن فعال تهیه شده از درخت سپیدار ارتباط دارد. pH_{app} یکی از پارامترهایی است که در فرایند جذب مورد استفاده قرار می‌گیرد. pH_{app} نشان‌دهنده نقطه‌ای است که در آن بار در سطح ماده جاذب صفر است و در pH های بالاتر از آن سطح ماده جاذب دارای بار منفی بوده و در پایین‌تر از آن سطح

سطح جاذب است که منجر به کاهش محلهای جذب و در نتیجه کاهش راندمان و میزان جذب شده است(۲۱). بنابراین دوز جاذب ۳ گرم در لیتر به عنوان دوز بهینه برای انجام آزمایش‌های بعدی تعیین شد. دوز بهینه‌ی جاذب در اکثر مطالعات گذشته(۳۶،۳۵،۲۱) بالاتر از ۳ گرم در لیتر است که نشان می‌دهد جاذب مورد مطالعه پتانسیل مناسبی برای جذب آلاینده‌ها در مقیاس عملیاتی دارد.

ایزوترم و سنتیک جذب فل کربن فعال تهیه شده از درخت سپیدار

در مطالعات مربوط به جذب آلاینده‌ها روی جاذب‌های مختلف، تعیین ایزوترم‌ها و سنتیک‌های جذب از مهم‌ترین مشخصه‌هایی است که باید مورد توجه قرار گیرد. در این مطالعه بعد از زمان تماس مناسب، دوز جاذب و pH، مشخصه‌های مرتبط با ایزوترم جذب آلاینده مورد نظر روی کربن فعال به دست آمده از درخت سپیدار تعیین گردید. نتایج نشان داد که داده‌های آزمایشگاهی با ایزوترم لانگمویر با مقدار R^2 بالا (۰/۹۹۵) بهتر توصیف می‌شوند. ظرفیت جذب به دست آمده از مدل ایزوترم لانگمویر mg/g ۱۷۲/۴۱ بود که در مقایسه با دیگر جاذب‌ها(۳۷،۳۲،۲۲)، این جاذب بسیار کارآمد به نظر می‌رسد. این که داده‌های آزمایشگاهی همخوانی بیشتری با مدل لانگمویر داشت ناشی از توزیع هموژن جایگاه‌های فعال بر سطح کربن فعال می‌باشد، چرا که معادله لانگمویر بر این فرض استوار بوده که سطح جاذب هموژن است. در این ارتباط نتایج مشابهی برای جذب آلاینده‌ها از محلول آبی با کربن فعال گزارش شده است(۳۸،۳۵،۳۳). هر چند دیگر مطالعات(۳۴،۱۱) جذب فل توسط جاذب‌های طبیعی نشان داد که داده‌های آزمایشگاهی از ایزوترم فروندلیچ تعیت می‌نماید. تفاوت در گزارش‌ها می‌تواند ناشی از تفاوت شرایط آزمایش جذب و نوع جاذب مورد استفاده باشد. مقدار پارامتر n در ایزوترم فروندلیچ (که بیشتر از عدد یک می‌باشد) نشان‌دهنده مناسب

عبارت دیگر فرایند جذب در ۳۵ دقیقه به تعادل رسیده است. کاهش راندمان با افزایش غلظت اولیه‌ی فل به این علت است که تعداد جایگاه‌های جذب بر سطح جاذب در محلول ثابت است، بنابراین با افزایش غلظت فل تعداد جایگاه‌های در دسترس کمتری برای اشغال وجود دارد و در نتیجه راندمان کاهش یافته است(۳۱،۱۰). این نتایج با یافته‌های برخی از محققین همسو است، قادر و همکارانش نشان دادند که جذب فل بر روی جاذب مورد مطالعه در مدت زمان ۱۵ دقیقه به تعادل رسید که با یافته‌های این مطالعه نزدیک است(۳۲). از طرفی نتایج این مطالعه با یافته‌های برخی محققین متفاوت است. Kiliç و همکارانش(۳۳) در مطالعه جذب فل توسط کربن فعال گزارش کردند که جذب فل روی جاذب مطالعه شده در مدت ۳۰ دقیقه به تعادل رسید. دارائی و همکارانش(۳۴) زمان حدود ۵ ساعت را برای تعادل جذب فل توسط جاذب پر شتر مرغ گزارش نموده‌اند. اختلاف در گزارش نتایج محققین را می‌توان با شرایط آزمایش، نوع جاذب و اصلاحات اعمال شده روی جاذب‌ها توضیح داد. زمان تعادل بسیار کم کربن فعال تهیه شده از درخت سپیدار در حذف فل بیانگر پتانسیل این جاذب در عملیاتی نمودن آن جهت تصفیه آلاینده‌ها است.

تأثیر دوز جاذب بر راندمان حذف فل نتایج نشان دادبا افزایش دوز جاذب از ۰/۲۵ به ۳ گرم در لیتر، برای غلظت فل ۴۰ میلی گرم بر لیتر، راندمان حذف از ۲۲ درصد به ۸۶ درصد رسیده است و برای دوزهای جاذب بیشتر از ۳ گرم در لیتر راندمان حذف تقریباً ثابت بوده است. افزایش جذب فل تا دوز جاذب ۳ گرم در لیتر ناشی از افزایش تعداد محلهای در دسترس برای جذب فل است(۶). دلیلی که برای عدم افزایش جذب فل به کربن فعال تهیه شده از درخت سپیدار برای دوزهای جاذب بیشتر از ۳ گرم در لیتر می‌توان بیان نمود، همپوشانی محلهای جذب بر

است همخوانی دارد.

این مطالعه نشان داد که راندمان جذب فل با افزایش زمان تماس، کاهش غلظت اولیه فل و افزایش دوز جاذب افزایش می‌یابد. حداکثر حذف فل به میزان ۱۰۰ درصد در pH برابر ۴ بدست آمد. فرایند جذب در زمان ۳۵ دقیقه به تعادل رسید. جذب فل بر روی جاذب مورد مطالعه از مدل ایزوترم لانگمویر (با حداکثر جذب ۱۷۲/۴۱ mg/g) و سنتیک درجه دوم کاذب تبعیت نمود. به طور کلی، کربن فعال تهیه شده از درخت سپیدار پتانسیل مناسبی در حذف آلاینده فل دارد و جهت استفاده در تصفیه فاضلاب‌های حاوی فل توصیه می‌گردد. از آنجایی که استفاده از جاذب منوط به تعیین تاثیر کلیه پارامترهایی نظیر درجه حرارت، اثر هم زمان سایر آنیون‌ها و کاتیون‌ها و قابلیت استفاده مجدد جاذب است، مطالعات تکمیلی جهت توسعه استفاده از این جاذب توسط سایر محققین پیشنهاد می‌گردد.

سپاسگزاری

این مقاله با حمایت مالی شرکت ملی صنایع پتروشیمی (با کد پروژه: NPC-HSE-11-93-E) و حمایت تکنیکی دانشگاه علوم پزشکی بوشهر انجام شده است.

References

1. Ahmed S, Rasul MG, Martens WN, Brown R, Hashib MA. Heterogeneous photocatalytic degradation of phenols in wastewater: A review on current status and developments. Desalination 2010; 261(1-2): 3-18.
2. Ramavandi B, Jafarzadeh M, Sahebi S. Removal of phenol from hyper-saline wastewater using Cu/Mg/Al-chitosan-H₂O₂ in a fluidized catalytic bed reactor. Reaction Kinetics. Mechanisms and Catalysis 2014; 111(2): 605-620.
3. Bhatnagar A. Removal of bromophenols from water using industrial wastes as low cost adsorbents. J Hazard Mater 2007; 139(1): 93-102.
4. Veeresh GS, Kumar P, Mehrotra I. Treatment of phenol and cresols in upflow anaerobic sludge blanket (UASB) process: a review. Water Res 2005; 39(1): 154-170.
5. Dutta NN, Borthakur S, Baruah R. A Novel Process for Recovery of Phenol from Alkaline Wastewater: Laboratory Study and Predesign Cost Estimate. Water Environ Res 1998; 70(1): 4-9.
6. Asgari G, Ramavandi B, Sahebi S. Removal of a cationic dye from wastewater during

بودن جذب فل به کربن فعال تهیه شده از درخت سپیدار است (۳۹). ثابت‌های A و B و ضریب همبستگی (R²) مدل ایزوترم تمکین به ترتیب ۰/۹۸۲، ۴۷/۶، ۲/۰۱ (۴۰) به دست آمد. بنابراین، جذب فل با کربن فعال تهیه شده از درخت سپیدار با مقدار انرژی باند شونده بالای توصیف می‌شود (۶). همچنین پتانسیل جذب تمکین (B ln A.C.) برای جاذب مورد نظر ۴۲/۱۲ کیلو ژول بر مول تعیین گردید که نشان دهنده ایجاد باند قوی بین مولکول فل و سطح جاذب است (۴۰). سنتیک جذب فل روی کربن فعال به دست آمده از درخت سپیدار بوسیله مدل سنتیک درجه دو کاذب بهتر توصیف شد، به طوری که ضرایب همبستگی مدل درجه دو بیشتر از درجه یک بود. به علاوه میزان ظرفیت جذب q_e به دست آمده از مطالعات تجربی با q_e محاسبه شده از مدل درجه دو تطابق بیشتری دارد. جدول شماره ۴ نشان می‌دهد که مقدار ثابت واکنش k_2 با افزایش غلظت اولیه فل کاهش یافته است. این پدیده نشان دهنده رقبابت مکان‌های جذب در تصاحب فل در غلظت‌های بالاتر است. نتایج این مطالعه با سایر مطالعات جذب فل (۴۱، ۳۲، ۲۹، ۱۰) که نشان دادند مدل سنتیک واکنش از نوع درجه دوم کاذب

- purification by Phoenix dactylifera. Desalination and Water Treatment 2014; 52(37-39): 7354-7365.
7. Ramavandi B, Farjadfar S, Ardjmand M. Mitigation of orange II dye from simulated and actual wastewater using bimetallic chitosan particles: Continuous flow fixed-bed reactor. J Environ Chem Eng 2014; 2 (3): 1776-1784.
 8. Han R, Ding D, Xu Y, Zou W, Wang Y, Li Y, et al. Use of rice husk for the adsorption of congo red from aqueous solution in column mode. Bioresource Technol 2008; 99(8): 2938-2946.
 9. Gokce Y, Aktas Z. Nitric acid modification of activated carbon produced from waste tea and adsorption of methylene blue and phenol. Appl Surf Sci 2014; 313: 352-359.
 10. Dyanati Tilaki RA, Yousefi Z, Yazdani-Cherati J, Balarak D. The Ability of Azolla and Lemna Minor Biomass for Adsorption of Phenol From Aqueous Solutions. J Mazandaran Univ Med Sci. 2013; 23(106): 141-146 (Persian).
 11. Dyanati R, Yousefi Z, Yazdani Jerati J, Balarak D. Investigating Phenol Absorption from Aqueous Solution by Dried Azolla. J Mazandaran Univ Med Sci 2013; 22(2): 13-20 (Persian).
 12. Diyanati RA, Yazdani Cherati J, Belarak D. Effect of Sorbitol on Phenol Removal Rate by Lemna Minor. J Mazandaran Univ Med Sci 2013; 22(2): 58-65 (Persian).
 13. Zazouli MA, Yazdani cherati J, Balarak D, Ebrahimi M, Mahdavi Y. Investigating the Removal Rate of Acid Blue 113 from Aqueous Solution by Canola. J Mazandaran Univ Med Sci 2013; 22(2): 71-78 (Persian).
 14. López FA, Centeno TA, García-Díaz I, Alguacil FJ. Textural and fuel characteristics of the chars produced by the pyrolysis of waste wood, and the properties of activated carbons prepared from them. Journal of Analytical and Applied Pyrolysis 2013; 104: 551-558.
 15. Gil RR, Ruiz B, Lozano MS, Martín MJ, Fuente E. VOCs removal by adsorption onto activated carbons from biocollagenic wastes of vegetable tanning. Chem Engin J 2014; 245: 80-88.
 16. Bautista-Toledo MI, Rivera-Utrilla J, Ocampo-Pérez R, Carrasco-Marín F, Sánchez-Polo M. Cooperative adsorption of bisphenol-A and chromium(III) ions from water on activated carbons prepared from olive-mill waste. Carbon 2014; 73: 338-350.
 17. Zazouli MA, Belarak D, Karimnezhad F, Khosravi F. Removal of Fluoride from Aqueous Solution by Using of Adsorption onto Modified Lemna Minor: Adsorption Isotherm and Kinetics Study. J Mazandaran Univ Med Sci 2014; 23(109): 195-204 (Persian).
 18. American Public Health Association APHA, AWWA, WEF. Standard methods for the examination of water and wastewater. Washington, DC: APHA-AWWA-WEF; 2005.
 19. Hameed BH, Salman JM, Ahmad AL. Adsorption isotherm and kinetic modeling of 2,4-D pesticide on activated carbon derived from date stones. J Hazard Mater 2009; 163(1): 121-126.
 20. Tan IAW, Hameed BH, Ahmad AL. Equilibrium and kinetic studies on basic dye adsorption by oil palm fibre activated carbon. Chem Eng J 2007; 127(1-3): 111-119.
 21. Dastgheib SA, Karanfil T, Cheng W. Tailoring activated carbons for enhanced removal of natural organic matter from natural waters. Carbon 2004; 42(3): 547-557.
 22. Altenor S, Carene B, Emmanuel E, Lambert J, Ehrhardt JJ, Gaspard S. Adsorption studies

- of methylene blue and phenol onto vetiver roots activated carbon prepared by chemical activation. *J Hazard Mater* 2009; 165(1-3): 1029-1039.
23. Eaton AD, Franson MAH. Association APH, Association AWW, Federation WE. Standard Methods for the Examination of Water & Wastewater: American Public Health Association; 2005.
24. Zazouli MA, Veisi F, Veisi A. Modeling Bisphenol A Removal from Aqueous Solution by Activated Carbon and Eggshell. *J Mazandaran Univ Med Sci* 2013; 22(2): 129-138 (Persian).
25. Liu Q-S, Zheng T, Wang P, Jiang J-P, Li N. Adsorption isotherm, kinetic and mechanism studies of some substituted phenols on activated carbon fibers. *Cheml Eng J* 2010; 157(2-3): 348-356.
26. Ramavandi B, Asgari G, Faradmal J, Sahebi S, Roshani B. Abatement of Cr (VI) from wastewater using a new adsorbent, cantaloupe peel: Taguchi L16 orthogonal array optimization. *Korean J Chem Eng* 2014; 31 (12): 2207-2214.
27. Ahmed MJ, Theydan SK. Equilibrium isotherms, kinetics and thermodynamics studies of phenolic compounds adsorption on palm-tree fruit stones. *Ecotoxicol Environ Saf* 2012; 84: 39-45.
28. Ramavandi B, Akbarzadeh S. Removal of metronidazole antibiotic from contaminated water using a coagulant extracted from *Plantago ovata*. *Desal Water Treat* 2014; 2014; (ahead-of-print): 1-8.
29. Banat FA, Al-Bashir B, Al-Asheh S, Hayajneh O. Adsorption of phenol by bentonite. *Environ Pollut* 2000; 107(3): 391-398.
30. Yang G, Chen H, Qin H, Feng Y. Amination of activated carbon for enhancing phenol adsorption: Effect of nitrogen-containing functional groups. *Appl Surf Sci* 2014; 293: 299-305.
31. El Haddad M, Mamouni R, Saffaj N, Lazar S. Evaluation of Performance of Animal Bone Meal as a new low cost adsorbent for the removal of a cationic dye Rhodamine B from aqueous solutions. *Journal of Saudi Chemical Society* 2012; (ahead-of-print).
32. Gundogdu A, Duran C, Senturk HB, Soylak M, Ozdes D, Serencam H, et al. Adsorption of Phenol from Aqueous Solution on a Low-Cost Activated Carbon Produced from Tea Industry Waste: Equilibrium, Kinetic, and Thermodynamic Study. *J Chem Eng Data* 2012; 57(10): 2733-2743.
33. Kilic M, Apaydin-Varol E, Pütün AE. Adsorptive removal of phenol from aqueous solutions on activated carbon prepared from tobacco residues: Equilibrium, kinetics and thermodynamics. *J Hazard Mater* 2011; 189(1-2): 397-403.
34. Daraei H, Manshouri M, Yazdanbakhsh AR. Removal of Phenol from Aqueous Solution Using Ostrich Feathers Ash. *J Mazandaran Univ Med Sci* 2010; 20(79): 81-87 (Persian).
35. Deng H, Lu J, Li G, Zhang G, Wang X. Adsorption of methylene blue on adsorbent materials produced from cotton stalk. *Chem Eng J* 2011; 172(1): 326-334.
36. Zheng Y, Yu S, Shuai S, Zhou Q, Cheng Q, Liu M, et al. Color removal and COD reduction of biologically treated textile effluent through submerged filtration using hollow fiber nanofiltration membrane. *Desalination* 2013; 314: 89-95.
37. Giraldo L, Moreno-Piraján JC. Study of adsorption of phenol on activated carbons obtained from eggshells. *J Anal Appl Pyrolysis* 2014; 106: 41-47.

38. Pajoooheshfar SP, Saeedi M. Adsorptive removal of phenol from contaminated water and wastewater by activated carbon, almond, and walnut shells charcoal. *Water Environ Res* 2009; 81(6): 641-648.
39. Chen YD, Huang MJ, Huang B, Chen XR. Mesoporous activated carbon from inherently potassium-rich pokeweed by in situ self-activation and its use for phenol removal. *J Anal Appl Pyrol* 2012; 98: 159-165.
40. Hamdaoui O. Batch study of liquid-phase adsorption of methylene blue using cedar sawdust and crushed brick. *J Hazard Mater* 2006; 135(1-3): 264-273.
41. Mohd Din AT, Hameed BH, Ahmad AL. Batch adsorption of phenol onto physicochemical-activated coconut shell. *J Hazard Mater* 2009; 161(2-3): 1522-1529.